## 论著

# 胚胎发育不良性神 经上皮瘤的MRI表现

南方医科大学附属医院(郑州市人 民医院)放射科

(河南 郑州 450003)

李 鹤 宋继安 薛 鹏 陈 勇 周 杰

【摘要】目的 探讨胚胎发育不良性神经 上皮肿瘤(DNT)的MRI表现。方法 回顾 性分析经术后病理证实的19例DNET患者 的MRI资料。结果 19例中, 13例幕上, 6 例幕下,均单发,边界清楚; MRI表现多 样,形态多呈类圆形或不规则斑片状,6 例呈囊实性病变,囊性部分呈长T1、T2 信号,实性部分呈等或稍长T1、T2信号 结节或分隔影, 增强后实性部分明显强 化伴4例囊壁强化; 3例囊性病变,呈长 T1、T2信号, 增强后1例见内轻度分隔样 强化; 另10例均呈稍长T1、T2信号,内可 见更长T1、T2信号,部分内见等信号分 隔样结构,增强后7例轻度环状、条片状 不均匀强化; 19例FLAIR均呈欠均匀高信 号; 13例 (13/19) 无水肿及占位效应, 6 例(6/19)具有轻微水肿,与病变大小不 成比, 且占位效应相对较轻。结论 DNET MRI表现有一定的特征性,结合年龄及部位 特点,应考虑本病的可能性。

【关键词】肿瘤;神经上皮;磁共振成像 【中图分类号】R73

【文献标识码】A DOI: 10.3969/j.issn.1672-

5131. 2015. 03. 02

通讯作者: 李 鹤

# MRI Features of Dysembryoplastic Neuroepithelial Tumor

LI He, SONG Ji-an, XUE Peng, et al., Department of Radiology of zheng zhou peoples hospital, Zhengzhou, 450003, China

[Abstract] Objective To study the MRI features of intracranial dysembryoplastic neuroepithelial tumor(DNT). *Methods* 19 cases proved by pathology were retrospectively analyzed with MRI data. Results 18 lesions were single and well-demarca-ted, located mainly in the cortical to subcortical area,1 lesion located mainly in the fourth ventricle. Imaging appearances seemed to be diverse on MRI.shape more showed round or patching, All lesions mainly appeared hypo-intense or slightly hypo-intense on T1WI and hyper-intense or slightly hyper-intense on T2WI except for mixed signal intensity of hemorrhage or calcification.It was obvious that 6 lesions experienced cystic change and 5 of which had nodus in capsule wall, which appeared isointense on T1WI and isointense or slightly hyperintense on T2WI.all lesions appeared hyper-intense or slightly hyper-intense with on FLAIR (fluid attenuated inversion recovery). After injecting gadolinium, the lesions appeared to have no change (n=4), mild enhancement (n=8), obvious enhancement(n=7), nodular enhancement (n=6),intratumoral circular enhancement (n=5) 13 lesions showed no mass effect and edema,6 lesions showed slight mass effect and edema. Conclusion MRI of DNET have some characteristic imaging features, which may be posible for the diagnosis in combination with age and tumor locations .

[Key words] Neoplasms; Neuroepithelia; Magnetic Resonance Imaging

胚胎发育不良性神经上皮瘤 (dysembryoplastic neuroepithelial tumor, DNT) 是一种中枢神经系统罕见的神经元及混合神经元-胶质肿瘤。临床及影像学对其认识仍不足,本研究现回顾性分析经病理证实的19例DNT患者MRI资料,结合文献复习,探讨其MRI表现,以提高对它的认识。

### 1 材料与方法

- 1.1 一般资料 收集经术后病理确诊的胚胎发育不良性神经上皮瘤患者19例, 男16例, 女17例, 年龄8~49岁, 平均24.8岁。临床上多表现癫痫、反复头痛、头晕、呕吐、走路不稳以及失神等症状, 癫痫发病病史1~9年不等, 其他症状的病史均在1~5个月内。
- 1.2 **检查方法** 19例均MR行平扫及增强检查。使用GE公司Signal•5T或3.0T超导MR扫描仪,扫描参数:快速自旋回波序列(FSE)T2WI(TR 2800 ms, TE 105 ms); SE T1WI(TR400 ms, TE 20ms)及液体衰减反转恢复序列(FLAIR)[TR 8000 ms, TE 204 ms,反转时间(TI)200 ms]。MR增强检查采用SE T1WI,行横轴面、冠状面及矢状面扫描,对比剂采用钆喷替酸葡甲胺(Gd2DTPA),0.2 ml/kg体重。

#### 2 结 果

2.1 病变分布及大小 19例中,13例幕上,6例幕下,病灶分布具体如下:额叶6例,额颞叶1例,颞叶3例,小脑4例-半球3例、蚓部1例,四脑室1例,基底节2例,桥脑1例,扣带回及胼胝体1例。19例病灶大小不等,约2~8cm不等,均单发,边界较清楚,除第四脑内病变

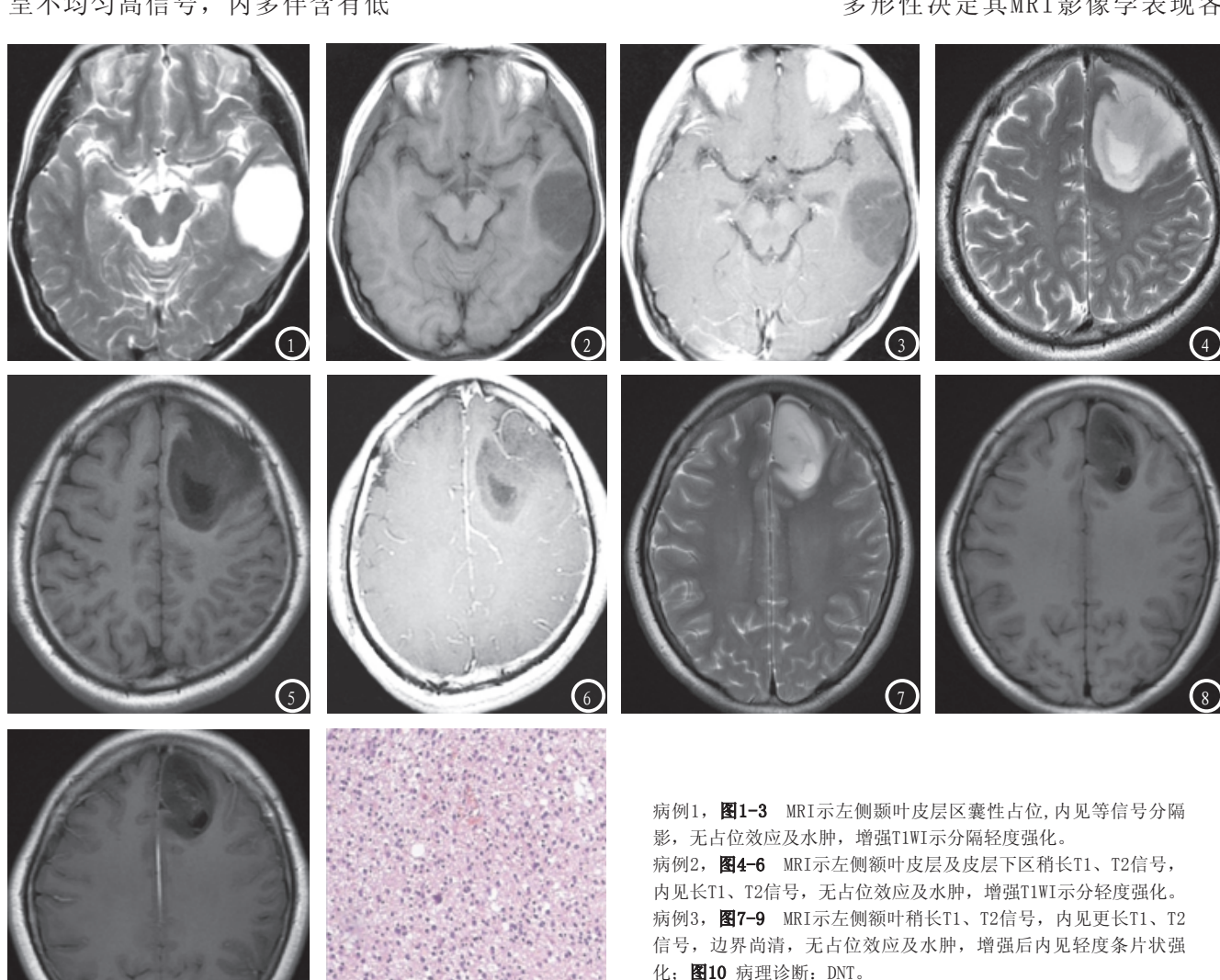
外,19例病灶累及皮层及皮层下白质。

**2.2 MRI表现** 病灶表现多 样,形态上多为类圆形肿块或结 节,有14例,不规则斑片状5例, 边界多清晰。信号上,9例呈囊 实性或囊性病变,囊性部分呈长 T1、T2信号,且FLAIR仍为高信 号,6例囊实性病例中,5例实性 部分呈等或稍长T1、T2信号结节 影,大小不等,且结节信号多不 均,内见更长T1、T2信号,其中 4例位于小脑半球,1例实质部分 呈囊内环形等信号: 3例囊性病变 (图1,2)。另10例均呈类圆形、 斑片状稍长T1、T2信号, 内可见更 长T1、T2信号(图4、5,7、8), 部分内可见分隔样结构: FLAR均 呈不均匀高信号, 内多伴含有低 信号囊腔(图4、5,7、8)。增强 后,6例囊实性病例中,5例实质 结节均明显不均匀强化,囊壁4例 强化,1例不强化,1例囊实性病 变囊内环形实质明显强化; 3例囊 性病变中1例轻度条索状分隔样强 化(图3): 1例四脑室结节明显强 化;除1例颞叶及基底节病变不强 化外,另7例均为轻度环状、条片 状不均匀强化(图6,9)。同时2 例病变皮质呈脑回肥厚肿胀样改 变。FLAIR上,13例病变无水肿及 占位效应,6例病变轻周围度水 肿, 其占位效应因病变体积大小 而不同程度地推压周围脑组织结 构,1例明显占位效应。

#### 3 讨 论

**3.1 临床特征** DNET 2007年 WHO中枢神经系统肿瘤分类中仍将 其归为神经元和混合神经元-神经 胶质肿瘤,属WHO分级的 I 级[1]。 发病年龄较轻,多<20岁,男性 稍多于女性,病灶多位于幕上大 脑皮层或累及皮层下白质, 颞叶 多见, 其次为额叶、顶叶、基底 节区、小脑等,临床上主要以部 分或复杂性癫痫发作为主,也可 以头痛、呕吐为主, 位于幕下小 脑者可表现头晕及走路不稳等症 状,而无癫痫发作[2-6];此瘤生长 缓慢,切除预后良好,极少有恶 变或复发, 术后一般不需放、化 疗, 故其做为一种独立的疾病引 起了很多学者的重视。

**3.2 MRI表现** DNT组织学的 多形性决定其MRI影像学表现各



异。本组资料也显示本病的MRI征 象是多种多样的,本组中5例大囊 并囊壁结节的病例, 国内文献中 很少有类似征象报道。结合本组 及文献分析,本病的MRI表现特点 有: (1)病灶位于幕上皮质或皮层 下,最常见额叶、颞叶,其次幕 下小脑半球,病变边界多清晰, 形态上多样[2-6], 部分文献报道 [2,6,7]DNT可呈三角形或楔形,且部 分病灶内可见分隔较具有特征性, 本组病例多呈类圆形,5例不规则 斑片状中,2例在特定切面上表现 类似,而对其内等信号分隔影, 信号与大脑皮质相当,有作者人 为分隔影反映了DNT结节状结构 以及正常组织、胶质结节与特殊 胶质神经元成分之间的分界[2], 可能这也反应了强化所表现的征 象; 部分病例皮层见类似脑回肿 胀增厚样改变,本组仅2例,文献 报道亦较少; (2)由于病变富含粘 液基质, MRI T1WI呈欠均匀低信 号, T2WI呈欠均匀高信号,含有 粘液糊时则呈囊性改变, T2WI信 号更高,且病灶明显囊性变,囊 内见结节影或分隔影,囊性区呈 长T1长T2信号,结节则呈等、稍 长T1等、稍长T2信号,FLAIR呈 稍高信号: 且病变很少出血、钙 化,本组2例见出血灶,仅1例见钙 化, Stanescu R等<sup>[4,8]</sup>亦报道36%的 DNT可见到钙化,因MRI显示钙化 效果差,本组钙化率没有进行分 析统计。(3)病灶周围多无水肿及 占位效应, 本组中, 13例(13/19) 无水肿及占位效应,6例(6/19) 具有轻微水肿,与病变大小不成 比, 占位效应一般也轻微, 部分 病例体积较大而较重; (4) 文献报 道增强扫描病灶多无明显强化, 部分病灶边缘强化或瘤内分隔有 轻度强化[2-6],但本组病变强化比 例较大,15例(15/19)有不同程度 地强化,6例囊实性病变增强后结 节不均匀明显强化,4例囊壁轻度 或明显强化, 国外文献类似报道 较多<sup>[8-11]</sup>,病理上强化结节或区域 多为高度增生的神经胶质细胞, 并伴有显著的血管和内皮增殖,1 例四脑室内结节明显强化,另有 8例病灶边缘强化或瘤内有分隔 状、条片状轻度强化。

3.4 鉴别诊断 本病主要需 与以下病变鉴别: (1)低级别的星 形细胞瘤,包括毛细胞型星型细 胞瘤,低级别星形细胞瘤,常发 生于30~40岁人群,深部白质为 主,形态多为类圆形,信号多呈 囊性: 毛细胞型星形细胞瘤, 无 论是从发病年龄、病灶的影像特 点,尤其是本组中的4例幕下表现 为大囊大结节型的病灶, 与毛细 胞型星形细胞瘤很难鉴别。(2)少 突胶质细胞瘤多见于成人,发生 在皮层下脑白质内, 病灶边缘常 显示尚清,钙化较常见,病灶多 累及皮层伴皮层增厚。(3)神经节 细胞胶质瘤和节细胞瘤, DNT与神 经节细胞胶质瘤(GG)都是诱发难 治性癫痫的脑皮质病变, 好发部 位都以颞叶为多见, 且神经节细 胞胶质瘤亦表现为实质病变或囊 性病变伴囊壁结节,影像学上与 DNT较难鉴别,但是GG钙化发生率 较高,最终还需病理鉴别。

总之,DNT MRI表现尽管多样,仍具有一定特征性,多呈慢性良性生物学进程的临床及影像学特征,结合年龄和部位,应考虑本病的可能,最终诊断依靠病理。

#### 参考文献

- 1. 占传家,朱文珍,王承缘.2007 年世界卫生组织对于中枢神经 系统肿瘤的分类[J].放射学实 践,2008,23(2):122-127.
- Fernardez C, Girard N, Paredes AP, et al. The usefulness of MR imaging in the diagnosis of dysembryoplastic neuroepithelial tumor in children: a study of 14 cases. AJNR, 2003, 24:829-834.
- 3. 刘红艳,张雪林,陈燕萍,等.胚胎发育不良性神经上皮肿瘤的

- 影像学表现[J]. 放射学实践 2009, 24(4): 376-380.
- 4. Stanescu Cosson R, Varlet P, Beuvon F, et al. Dysembryoplastic neuroepithelial tumors: CT, MR findings and imaging followup: A study of 53 cases. J Neuroradiol, 2001, 28: 230-234.
- 5. Lee DY, Chung CK, HwangYS, et a 1. Dysembryoplastic neuroepithelial tumor: radiological findings (including PET, SPECT and MRS) and sur-gical strategy. J Neurooncology, 2000, 47:167-169.
- 6. 肖俊强, 李苏建, 卢光明. 胚胎 发育不良性神经上皮瘤的MRI 表现特征[J]. 中华放射学杂志, 2006, 40(5): 467-469.
- Parmar HA, Hawkins C, Ozelame R, et al. Fluid-attenuated Inversion Recovery Ring Sign as a Marker of Dysembryoplastic Neuroepithelial Tumors [J]. J Comput Assist Tomogr, 2007, 31 (3): 348-353.
- 8. Sampetrean O, Maehara T, Arai N, et al. Rapidly Growing Dysembryoplastic Neuroepithelial Tumor: Case Report [J]. Neurosurgery, 2006, 59 (6): 1337-1338.
- 9. Bulakbasi N, Kocaoglu M, Sanal TH, et al. DysembryoplasticNeuroepithelial Tumors: Proton MR Spectroscopy, Diffusion and Perfusion Characteristics[J]. Neuroradiology, 2007, 49 (10): 805-812.
- 10. Yu AH, Chen L, Li YJ, Zhang GJ, Li KC, et al. Dysembryoplastic neuroepithelial tumors: magnetic resonance imaging and magnetic resonance spectroscopy evaluation[J]. Chin Med J (Engl). 2009 Oct 20; 122 (20): 2433-437.
- 11. Campos AR, Clusmann H, von Lehe M, Niehusmann P, Becker AJ, Schramm J, et al. Simple and complex dysembryoplastic neuroepithelial tumors (DNT) variants: clinical profile, MRI, and histopathology. Neuroradiology[J]. 2009 Jul; 51(7): 433-43.

(本文编辑: 黎永滨)

【收稿日期】2015-01-21